

**ПРИБЛИЖЕННЫЙ РАСЧЕТ ТЕЧЕНИЙ ГАЗА В КАНАЛАХ
С ПОРИСТЫМИ СТЕНКАМИ**

В. И. Ягодкин (Москва)

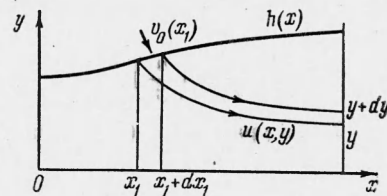
Течения сжимаемого газа в каналах часто не могут считаться одномерными, например при наличии фронта пламени [1-3], при оттоке газа от стенок во время их испарения или горения, а также в каналах с пористыми стенками [4-6]. Если площадь поперечного сечения канала и скорость оттока газа постоянны, а сжимаемостью газа можно пренебречь, то уравнения движения в ряде случаев допускают точные решения [4,6]. Для более сложных течений, в каналах переменного сечения или при переменной скорости оттока газа, применяют приближенные методы расчета [5]. В приближенных методах обычно предполагается, что давление в любом сечении постоянно. Оказалось, что применение приближенного метода для расчета течения в канале с пористыми параллельными стенками [5] дало результаты, совпадающие с точными [4]. В данной работе приближенный метод используется для расчета течений газа в каналах с пористыми стенками при учете сжимаемости газа.

1. Рассмотрим течение в плоском канале (фиг. 1) с шириной $h(x)$, образующееся в результате оттока газа от стенки с нормальной составляющей скорости $v_0(x)$. Канал симметричен относительно оси x . Будем считать, что влияние вязкости газа на течение несущественно, так что можно использовать уравнения движения невязкого газа. Для несжимаемой жидкости теоретически показано [4], что при числе Рейнольдса $Re_0 = v_0 h / \nu \rightarrow \infty$ (где ν — кинематическая вязкость газа) сохраняется условие обращения в нуль касательной составляющей скорости потока на стенках канала. Это условие было подтверждено экспериментально [6] путем сравнения профилей скорости.

В приближенной теории течения сжимаемого газа будем считать, что это условие также выполнено. Эксперименты также указывают на то, что влияние перемешивания потока турбулентностью на течение в каналах с пористыми стенками несущественно. Поэтому можно считать, что на любой линии тока, выходящей из точки x_1 стенки канала, выполняется уравнение Бернулли

$$\Lambda = \frac{u(x, y)}{V_{\max}(x_1)} = \left[1 - \left(\frac{p(x, y)}{p^*(x, y)} \right)^{\frac{\gamma-1}{\gamma}} \right]^{\frac{1}{2}} \quad (1.1)$$

$$\left(V_{\max} = \frac{\sqrt{2} a_0}{\sqrt{\gamma - 1}} \right)$$



Фиг. 1

где $a_0(x_1)$ — скорость звука у стенки канала, γ — показатель адиабаты, $u(x, y)$ — осевая составляющая скорости потока. Влияние поперечной составляющей $v(x, y)$ на давление считается малым. Так как давление постоянно в любом сечении, то

$$p(x, y) = p(x) = p \quad (1.2)$$

и давление заторможенного потока $p^*(x, y)$ при условии обращения в нуль касательной составляющей скорости потока на стенке равно

$$p^*(x, y) = p^*(x_1, h(x_1)) = p(x_1) = p_1 \quad (1.3)$$

Тогда вместо (1.1) получим

$$\Lambda = \left(1 - \left(\frac{p}{p_1} \right)^{\frac{\gamma-1}{\gamma}} \right)^{\frac{1}{2}} \quad (1.4)$$

Для совершенного газа

$$\rho(x, y) = \rho^*(x, y) \left(\frac{p(x, y)}{p^*(x, y)} \right)^{\frac{1}{\gamma}} = \rho_1 \left(\frac{p}{p_1} \right)^{\frac{1}{\gamma}} \quad (1.5)$$

Здесь $\rho_1 = \rho^*(x_1, h(x_1))$ — плотность у стенки. Для определения зависимости давления от длины канала используем (1.4) и (1.5) и уравнение неразрывности стационарного течения между двумя бесконечно близкими линиями тока (фиг. 1)

$$\rho_1 v_0(x_1) \sqrt{1 + h'^2(x_1)} dx_1 = \rho(x, y) u(x, y) dy \quad (1.6)$$

Из (1.4) — (1.6) можно получить

$$dy = \frac{v_0(x_1)}{V_{\max}(x_1)} \left(\frac{p}{p_1} \right)^{-\frac{1}{\gamma}} \left[1 - \left(\frac{p}{p_1} \right)^{\frac{\gamma-1}{\gamma}} \right]^{-\frac{1}{2}} \sqrt{1 + h'^2(x_1)} dx_1 \quad (1.7)$$

Интегрируя (1.7) по y от 0 до $h(x)$ и по x_1 от 0 до x , получим интегральное уравнение для $p(x)$, которое при замене переменной

$$X = \int_0^x \frac{v_0(x_1)}{V_{\max}(x_1)} \sqrt{1 + h'^2(x_1)} dx_1 \quad (1.8)$$

имеет вид

$$h(X) = \int_0^X \left(\frac{p}{p_1}\right)^{\frac{\gamma-1}{\gamma}} \left[1 - \left(\frac{p}{p_1}\right)^{\frac{\gamma-1}{\gamma}}\right]^{\frac{1}{2}} dX_1 \quad (p = p(X)) \quad (1.9)$$

При интегрировании (1.7) по y от 0 до y и по x_1 от 0 до x_1 получим связь между y и x_1 , в сечении x для данной линии тока

$$y = \int_0^{x_1} \left(\frac{p}{p_1}\right)^{\frac{\gamma-1}{\gamma}} \left[1 - \left(\frac{p}{p_1}\right)^{\frac{\gamma-1}{\gamma}}\right]^{\frac{1}{2}} dx_1 \quad (1.10)$$

при этом функция $p(X)$ удовлетворяет уравнению (1.9).

Тогда по формулам (1.4), (1.8) и (1.10) можно определить поле скоростей.

2. Рассмотрим течение в канале постоянной ширины. Пусть ширина канала $h = 1$;

$$X = \int_0^x \Lambda_0(x_1) dx_1 \quad \left(\Lambda_0(x_1) = \frac{v_0(x_1)}{V_{\max}(x_1)}\right)$$

где x отнесено к ширине канала.

Введем независимую переменную z и зависимую переменную $\varphi(z)$ по формулам

$$z = \left(\frac{p_0}{p}\right)^{\frac{\gamma-1}{\gamma}}, \quad \varphi(z) = z^{-\frac{1}{\gamma-1}} \frac{dX}{dz} \quad (p_0 = p(0)) \quad (2.1)$$

Тогда уравнение (1.9) приводится к интегральному уравнению Абеля

$$\int_1^z \frac{\varphi(\xi) d\xi}{\sqrt{z-\xi}} = z^{-\frac{\gamma+1}{2(\gamma-1)}} \quad (2.2)$$

решение которого имеет вид [7]

$$\varphi(z) = \frac{1}{\pi} \left[\frac{1}{\sqrt{z-1}} - f(z) \right], \quad f(z) = \frac{\gamma+1}{2(\gamma-1)} \int_1^z \xi^{-\frac{3\gamma-1}{2(\gamma-1)}} \frac{d\xi}{\sqrt{z-\xi}} \quad (2.3)$$

Связь величин X и z получим из соотношений (2.1) и (2.3)

$$X = \int_1^z \xi^{\frac{1}{\gamma-1}} \varphi(\xi) d\xi = \frac{1}{\pi} I(z) - \frac{1}{\pi} \int_1^z \xi^{\frac{1}{\gamma-1}} f(\xi) d\xi \quad (2.4)$$

причем

$$I(z) = \int_1^z \xi^{\frac{1}{\gamma-1}} \frac{d\xi}{\sqrt{\xi-1}} = \frac{2(\gamma-1)}{\gamma+1} z^{\frac{\gamma}{\gamma-1}} f(z) \quad (2.5)$$

Уравнение (1.10) в новых переменных имеет вид

$$y = z^{\frac{\gamma+1}{2(\gamma-1)}} \int_1^z \frac{\varphi(\xi) d\xi}{\sqrt{z-\xi}} \quad (2.6)$$

или, ввиду (2.3)

$$y = \frac{1}{\pi} z^{\frac{\gamma+1}{2(\gamma-1)}} \left(\arcsin \frac{2\xi-1-z}{z-1} + \frac{\pi}{2} - \int_1^z \frac{f(\xi) d\xi}{\sqrt{z-\xi}} \right) \quad (2.7)$$

Поле скоростей определится из соотношения (1.4), согласно которому имеем

$$\Lambda = \sqrt{1 - \zeta / z} \quad (2.8)$$

По формулам (2.3) — (2.5) и (2.7), (2.8) производился расчет течения. Интегралы, входящие в (2.5) и (2.7), находились численно. При $\gamma = 1.40$ на фиг. 2 построена зависимость величины X от z . Эта зависимость имеет пологий максимум при $z_m = 1.367$, равный $X_m = 0.243$, согласно уравнению $X'(z_m) = \varphi(z_m) = 0$.

Запиранию канала соответствует $z = z_m$, т. е. отношение давлений в начале и конце канала $p_0 / p = 2.99$ и

$$\int_0^{x_m} \Lambda_0(x_1) dx_1 = 0.243$$

где x_m — максимальная при данном распределении $\Lambda_0(x_1)$ длина канала.

Однако обычно известно не распределение $\Lambda_0(x_1)$, а величина потока массы $m_1 = \rho_1 v_0(x_1)$. Например, если пористая стенка канала обладает большим гидравлическим сопротивлением, то падение давления внутри канала может не влиять на величину m_1 . При постоянном давлении снаружи канала $m_1 = \text{const}$.

Пусть $T^* = \text{const}$ и $m_1 = m(x_1)$; из уравнения состояния и из (2.1) имеем

$$\rho_1 = \rho_0 \zeta^{-\frac{\gamma}{\gamma-1}}, \quad \Lambda_0(x_1) = \frac{m_1}{\rho_0 V_{\max}} \zeta^{\frac{\gamma}{\gamma-1}} \quad (2.9)$$

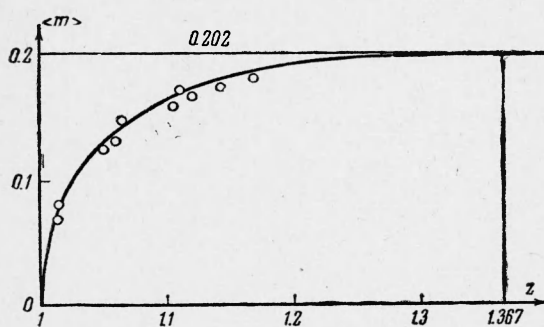
Так как из (2.1) и (1.8)

$$\frac{dX}{dx} = \frac{dX}{dz} \frac{dz}{dx} = z^{\frac{1}{\gamma-1}} \varphi(z) \frac{dz}{dx} = \Lambda_0(x) \quad (2.10)$$

то для величины z получим уравнение

$$\int_1^z \frac{\varphi(\zeta)}{\zeta} d\zeta = \frac{1}{\rho_0 V_{\max}} \int_0^x m(x_1) dx_1 = \frac{\langle m \rangle}{\rho_0 V_{\max}}, \quad \langle m \rangle = \frac{1}{F} \int_0^F m_1 dx_1 \quad (2.11)$$

связывающее переменные x и z (при этом функция $\varphi(z)$ определяется по формуле (2.3)).



Фиг. 3

Величина, стоящая в (2.11) справа, пропорциональна расходу газа в сечении x канала; $\langle m \rangle$ — средний поток массы в этом сечении, F — площадь сечения. Максимальный расход, пропускаемый каналом, определяется из (2.11) при $z = z_m$, когда величина $\langle m \rangle / \rho_0 V_{\max} = 0.202$. Зависимость (2.11) при $\gamma = 1.40$ построена на фиг. 3.

Поля скоростей Λ рассчитывались по формулам (2.7) — (2.8) при $\gamma = 1.40$ и $z = 1.05, 1.10, 1.20, 1.30$ и 1.367 . Значения скорости возле ее максимума могут быть сверхзвуковыми, так как при коэффициенте скорости $\lambda = 1$ значение $\Lambda = 0.408$, а наибольшее значение скорости в сечении $\Lambda_m = \sqrt{1 - 1/z}$ при условии запирания канала соответствует $\Lambda_m = 0.518$, т. е. $\lambda = 1.27$. При этом ширина области сверхзвукового течения составляет около 0.81 всей ширины канала.

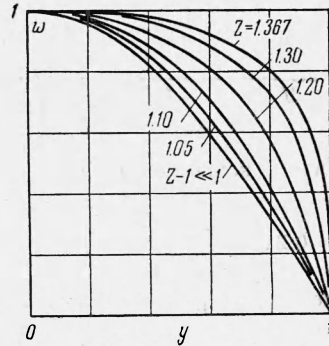
Формулы для течения несжимаемой жидкости в канале с пористыми стенками [5] получаются из приведенных выше формул в предельном случае $z - 1 \ll 1$. В этом случае из (2.4), (2.7) и (2.8) приближенно имеем

$$y = \frac{1}{\pi} \arcsin \frac{2\zeta - 1 - z}{z - 1} + \frac{1}{2}, \quad X = \frac{2}{\pi} \sqrt{1 - \frac{1}{z}} \quad (2.12)$$

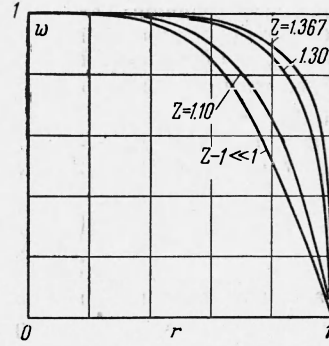
и, следовательно,

$$\Lambda = \frac{\pi}{2} X \cos \frac{\pi}{2} y \quad \text{или} \quad w = \frac{u}{U} = \cos \frac{\pi}{2} y \quad (2.13)$$

где U — значение скорости u при $y = 0$. На фиг. 4 для $\gamma = 1.4$ построены кривые относительных скоростей $w(y)$ для различных значений z : Сжимаемость газа приводит к расширению профилей по сравнению со случаем несжимаемой жидкости.



Фиг. 4



Фиг. 5

Осесимметричная задача (в частности, течение в круглой трубе) сводится к плоской замене переменных

$$h(x) = R^2(x), \quad X = 2 \int_0^x R(x_1) \Lambda_0(x_1) \sqrt{1 + R'^2(x_1)} dx_1, \quad y = r^2 \quad (2.14)$$

В этих обозначениях все уравнения, рассмотренные выше, сохраняют свой вид: Для круглой трубы ($R = 1$) профили скоростей $w(r)$ построены на фиг. 5. В соотношении (2.11) величина m_1 заменяется на $2m_1$, т. е. при одинаковом потоке массы со стенки запаривание в круглой трубе происходит при вдвое меньшей длине, чем в плоском канале с параллельными стенками. Средний поток массы при запаривании $\langle m_* \rangle$ как в трубе, так и в плоском канале с параллельными стенками равен

$$\langle m_* \rangle = 0,452 \rho_0 a_0 \quad (2.15)$$

3. Была произведена экспериментальная проверка выводов приближенной теории. Изучалось течение воздуха в цилиндрической трубке с пористой поверхностью, обладающей большим гидравлическим сопротивлением. Методика проведения экспериментов описана ранее в работе автора [6]. Основная предпосылка теории — постоянство статического давления по сечению канала — подтвердилась как при скоростях потока малых по сравнению со звуковой, так и близких к звуковой. Определялась зависимость относительного среднего потока массы

$$\frac{\langle m \rangle}{\rho_0 V_{\max}} = \frac{M}{\rho_0 V_{\max} F} \quad (F = \pi a^2) \quad (M — \text{расход массы, } a — \text{радиус трубы})$$

от величины z для трубы длиной 300 мм и радиусом $a = 15$ мм (точки на фиг. 3). Как видим, приближенная теория удовлетворительно описывает течение сжимаемого газа в цилиндрических каналах с пористыми стенками.

Поступила 20 VII 1963

ЛИТЕРАТУРА

1. З е л ь д о в и ч Я. Б. Замечания о горении быстрого потока в трубе. Ж. техн. физ., 1944, т. XIV, вып. 3.
2. T s i e n H. S. Influence of flame front on the flow field. J. Appl. Mech., 1951, vol. 18, No. 2.
3. Ч е р н ы й Г. Г. Течение газа в трубе при наличии фронта пламени. Сб. Теоретическая гидромеханика, Оборонгиз, 1954, № 12.
4. В е р м а н А. Laminar flow in channels with porous walls. J. Appl. Phys., 1953, vol. 24, No. 9.
5. T a y l o r G. Fluid flow in regions bounded by porous surfaces. Proc. Roy. Soc., 1956, 234, No. 1199.
6. Я г о д к и н В. И. Течение газа при горении в трубах с пористыми стенками. Инж. ж., 1961, № 3.
7. К у р а н т Р. и Г и л ь б е р т Д. Методы математической физики. т. I. Гостехиздат, 1951.